

УДК 532.516

## АКУСТИЧЕСКОЕ ТЕЧЕНИЕ, ИНДУЦИРОВАННОЕ КОЛЕБАНИЕМ СТЕНКИ ПЛОСКОГО ПРЯМОУГОЛЬНОГО РЕЗОНАТОРА

© 2022 г. Д. А. Губайдуллин<sup>а,\*</sup>, П. П. Осипов<sup>а,\*\*</sup>, Р. Р. Насыров<sup>а,\*\*\*</sup>

<sup>а</sup> Федеральный исследовательский центр Казанский научный центр РАН,  
Институт механики и машиностроения, Казань, Россия

\*E-mail: gubaidullin@imm.knc.ru

\*\*E-mail: petro300@rambler.ru

\*\*\*E-mail: nasyrov.ravil@bk.ru

Поступила в редакцию 30.03.2021 г.

После доработки 17.09.2021 г.

Принята к публикации 21.09.2021 г.

Рассмотрено движение вязкого сжимаемого газа в закрытом прямоугольном резонаторе, индуцированное гармоническим колебанием границы на первой резонансной частоте. Методом последовательных приближений исследуется двумерное акустическое течение в резонаторе произвольной ширины. Установлено существование акустического течения в виде четырех вихрей Рэлея и четырех вихрей Шлихтинга. Показано сходство акустических течений, возникающих при горизонтальных гармонических колебаниях каверны и при колебаниях стенки резонатора, что говорит о слабом влиянии способа генерации стоячей волны на картину акустического течения. Обнаружено, что по мере уменьшения ширины канала, размеры вихрей Шлихтинга увеличиваются по сравнению с размерами вихрей Рэлея. При ширине канала меньше шести толщин акустического пограничного слоя, вихри Рэлея исчезают и остаются только вихри Шлихтинга. Установлено, что в случае колеблющейся каверны центры вихрей Рэлея и Шлихтинга лежат в одном поперечном сечении, а в случае резонатора с колеблющейся границей центры вихрей Шлихтинга смещены в сторону вертикальных стенок.

*Ключевые слова:* акустические течения, резонатор, вихри Рэлея, вихри Шлихтинга

DOI: 10.31857/S0568528122010054

В волновых полях в вязкой жидкости при определенных условиях формируются акустические течения. Впервые задача о возникновении акустического течения, создаваемого плоской стоячей волной в двумерном канале произвольной ширины, аналитически исследована в [1]. В [2, 3] предложены различные модификации решения [1], но основное внимание уделялось течению за пределами пограничного слоя [3, 4]. В [5] показано, что внутри пограничного слоя возникают вихри Шлихтинга, направление вращения которых противоположно направлению вращения внешних вихрей Рэлея. Теоретический и численный анализ акустических течений, создаваемых стоячей волной вдоль непроницаемой стенки в полубесконечной области, проведен в [6–8].

В работе [9] получено аналитическое решение редуцированных уравнений Навье–Стокса в неинерциальной системе отсчета, связанной с прямоугольной вибрирующей каверной, и рассчитано акустическое течение, возникающее в одномерной стоячей волне давления. В [10] численно изучено акустическое течение в неподвижном двумерном прямоугольном резонаторе на основе полных уравнений Навье–Стокса для сжимаемого вязкого газа при гармоническом колебании левой границы. Показано, что в резонаторе образуется акустическое течение в виде вторичных вихрей Шлихтинга и Рэлея. Приведено сравнение и установлено хорошее согласование эпюр скорости акустического течения, полученных на основе аналитического решения редуцированных [9] и численного решения полных [10] уравнений Навье–Стокса. Несмотря на хорошее согласие результатов этих работ, отметим, что в них рассматриваются краевые задачи с различными граничными условиями и уравнениями. Поэтому целью данной работы является получение аналитического решения редуцированных уравнений Навье–Стокса для граничных условий, используемых в [10].

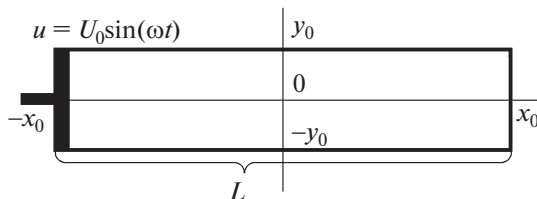


Рис. 1. Прямоугольный резонатор.

## 1. ПОСТАНОВКА ЗАДАЧИ

Рассмотрим закрытый прямоугольный резонатор длины  $L = 2x_0$ , занимающий в пространстве область  $-x_0 \leq x \leq x_0$ ,  $-y_0 \leq y \leq y_0$  (рис. 1). Акустическое течение в резонаторе возбуждается колебаниями левой границы. Уравнение неразрывности и редуцированные уравнения Навье–Стокса можно записать, следуя работе [9]

$$\begin{aligned} \frac{\partial \rho}{\partial t} + \frac{\partial \rho u}{\partial x} + \frac{\partial \rho v}{\partial y} &= 0 \\ \rho \left( \frac{\partial u}{\partial t} + u \frac{\partial u}{\partial x} + v \frac{\partial u}{\partial y} \right) &= -\frac{\partial p}{\partial x} + \mu \frac{\partial^2 u}{\partial y^2} \\ \frac{\partial p}{\partial y} &= 0 \end{aligned} \quad (1.1)$$

Эта система из трех уравнений связывает четыре величины  $\rho$ ,  $p$ ,  $u$ ,  $v$ . Для ее замыкания используется адиабата Пуассона  $\rho/\rho_0 = (p/p_0)^{1/\gamma}$ .

Заметим, что вместо уравнения импульса поперек канала используется условие равенства нулю поперечного градиента давления. При этом поперечная компонента скорости определяется из уравнения неразрывности. Подробное обоснование этого подхода дано в [11], где введен параметр порядка малости  $\eta = y_0/L$ , и получены оценки

$$\frac{v}{u} = O(\eta), \quad \frac{\partial p / \partial y}{\partial p / \partial x} = O(\eta)$$

которые указывают на то, что в узких длинных каналах движение жидкости и градиенты давления направлены преимущественно вдоль оси  $x$ .

Далее рассмотрим периодическое решение (1.1) при граничных условиях

$$\begin{aligned} \frac{1}{2y_0} \int_{-y_0}^{y_0} u(-x_0, y, t) dy &= U_0 e^{i\omega t} \\ u(x_0, y, t) &= 0 \\ u(x, -y_0, t) &= 0, \quad v(x, -y_0, t) = 0 \\ u(x, y_0, t) &= 0, \quad v(x, y_0, t) = 0 \end{aligned} \quad (1.2)$$

## 2. МЕТОД ПОСЛЕДОВАТЕЛЬНЫХ ПРИБЛИЖЕНИЙ

Задача (1.1)–(1.2) может быть решена методом последовательных приближений в виде суммы возмущений первого и второго порядка малости [12]

$$\rho = \rho_0 + \rho_1 + \rho_2, \quad p = p_0 + p_1 + p_2, \quad \mathbf{u} = \mathbf{u}_1 + \mathbf{u}_2$$

Для политропного газа с точностью до малых третьего порядка можно записать разложение

$$p = p_0 + c_0^2(\rho - \rho_0) + \frac{(\gamma - 1)c_0^2}{2\rho_0}(\rho - \rho_0)^2 = p_0 + c_0^2\rho_1 + \frac{(\gamma - 1)c_0^2}{2\rho_0}\rho_1^2$$

откуда  $p_1 = c_0^2\rho_1$ ,  $p_2 = \frac{(\gamma - 1)c_0^2}{2\rho_0}\rho_1^2 + \rho_2c_0^2 = \frac{\gamma - 1}{2\rho_0c_0^2}p_1^2 + \rho_2c_0^2$

Система (1.1) с точностью до малых третьего порядка примет вид

$$\begin{aligned} \frac{\partial(\rho_1 + \rho_2)}{\partial t} + \frac{\partial(\rho_0 + \rho_1 + \rho_2)(u_1 + u_2)}{\partial x} + \frac{\partial(\rho_0 + \rho_1 + \rho_2)(v_1 + v_2)}{\partial y} &= 0 \\ (\rho_0 + \rho_1 + \rho_2) \left( \frac{\partial(u_1 + u_2)}{\partial t} + (u_1 + u_2) \frac{\partial(u_1 + u_2)}{\partial x} + (v_1 + v_2) \frac{\partial(u_1 + u_2)}{\partial y} \right) &= \\ &= - \frac{\partial(p_1 + p_2)}{\partial x} + \mu \frac{\partial^2(u_1 + u_2)}{\partial y^2} \\ \frac{\partial(p_1 + p_2)}{\partial y} &= 0 \end{aligned} \quad (2.1)$$

### 2.1. Первое приближение

Для возмущения первого порядка малости из (2.1) можно записать систему

$$\frac{\partial\rho_1}{\partial t} + \rho_0 \left( \frac{\partial u_1}{\partial x} + \frac{\partial v_1}{\partial y} \right) = 0, \quad \rho_0 \frac{\partial u_1}{\partial t} - \mu \frac{\partial^2 u_1}{\partial y^2} + \frac{\partial p_1}{\partial x} = 0, \quad \frac{\partial p_1}{\partial y} = 0, \quad p_1 = \rho_1 c_0^2$$

Решение этой системы ищется в комплексном виде

$$u_1 = \text{Im}[\tilde{u}_1 e^{i\omega t}], \quad v_1 = \text{Im}[\tilde{v}_1 e^{i\omega t}], \quad p_1 = \text{Im}[\tilde{p}_1 e^{i\omega t}] \quad (2.2)$$

для граничных условий (1.2).

Вводя комплексные амплитуды, решение в первом приближении примет вид

$$\tilde{u}_1 = u_0(x)Y_x(y), \quad \tilde{v}_1 = -fy_0 \frac{du_0}{dx}(x)Y_y(y), \quad \tilde{p}_1 = -(1-f) \frac{\rho_0 c_0^2}{i\omega} \frac{du_0}{dx}$$

где

$$\begin{aligned} u_0(x) &= \frac{0.5U_0}{1-f} \left( \frac{\text{ch}\alpha x}{\text{ch}\alpha x_0} - \frac{\text{sh}\alpha x}{\text{sh}\alpha x_0} \right), \quad Y_x(y) = 1 - \frac{\text{ch}\beta y}{\text{ch}\beta y_0}, \quad Y_y(y) = \frac{y}{y_0} - \frac{\text{sh}\beta y}{\text{sh}\beta y_0} \\ \alpha &= \frac{i\omega/c_0}{\sqrt{1-f}}, \quad f = \frac{\text{th}\beta y_0}{\beta y_0}, \quad \beta = \frac{1+i}{\delta}, \quad \delta = \sqrt{\frac{2\nu}{\omega}} \end{aligned}$$

### 2.2. Второе приближение и акустическое течение

Выделение возмущения второго порядка малости из (2.1) дает систему

$$\begin{aligned} \frac{\partial\rho_2}{\partial t} + \rho_0 \left( \frac{\partial u_2}{\partial x} + \frac{\partial v_2}{\partial y} \right) &= - \left( \frac{\partial\rho_1 u_1}{\partial x} + \frac{\partial\rho_1 v_1}{\partial y} \right) \\ \rho_0 \frac{\partial u_2}{\partial t} - \mu \frac{\partial^2 u_2}{\partial y^2} + \frac{\partial p_2}{\partial x} &= - \frac{\partial\rho_1 u_1}{\partial t} - \rho_0 \left( \frac{\partial u_1^2}{\partial x} + \frac{\partial u_1 v_1}{\partial y} \right) \\ \frac{\partial p_2}{\partial y} &= 0 \end{aligned} \quad (2.3)$$

Осреднение системы (2.3) по периоду приводит к системе

$$\begin{aligned} \frac{\partial \overline{\rho_0 u_2 + \rho_1 u_1}}{\partial x} + \frac{\partial \overline{\rho_0 v_2 + \rho_1 v_1}}{\partial y} &= 0 \\ \mu \frac{\partial^2 \overline{u_2}}{\partial y^2} - \frac{\partial \overline{p_2}}{\partial x} &= \rho_0 \left( \frac{\partial \overline{u_1^2}}{\partial x} + \frac{\partial \overline{u_1 v_1}}{\partial y} \right) \\ \frac{\partial \overline{p_2}}{\partial y} &= 0 \end{aligned} \quad (2.4)$$

Второе уравнение может быть представлено в виде

$$\mu \frac{\partial^2 \overline{u_2}}{\partial y^2} = \frac{d \overline{p_2}}{dx} - F(x, y) \quad (2.5)$$

$$\text{где } F(x, y) = -\rho_0 \left( \frac{\partial \overline{u_1^2}}{\partial x} + \frac{\partial \overline{u_1 v_1}}{\partial y} \right) \quad (2.6)$$

Используя в (2.6) связь среднего по периоду произведения двух гармоник с их комплексными амплитудами  $\overline{u_1 v_1} = 0.5 \operatorname{Re}[\tilde{u}_1 \tilde{v}_1^*]$ ,  $\overline{u_1^2} = 0.5 \operatorname{Re}[\tilde{u}_1 \tilde{u}_1^*]$ , можно записать

$$\frac{F(x, y)}{\mu} = -\frac{\rho_0}{2\mu} \operatorname{Re} \left[ \frac{\partial(\tilde{u}_1 \tilde{u}_1^*)}{\partial x} + \frac{\partial(\tilde{u}_1 \tilde{v}_1^*)}{\partial y} \right] = -V_0 \operatorname{Re} \left[ G(x) \left( \frac{Y_x Y_x^*}{\delta^2} - \frac{y_0 f^* d(Y_x Y_y^*)}{2\delta^2 dy} \right) \right] \quad (2.7)$$

где  $V_0 = \frac{|U_0|^2 \delta^2}{x_0 \nu} = \frac{2|U_0|^2}{x_0 \omega}$ ,  $G(x) = \frac{x_0}{|U_0|^2} \tilde{u}_0 \frac{d\tilde{u}_0^*}{dx}$ . Интегрирование (2.5) дважды по  $y$  приведет к уравнению

$$\mu \overline{u_2} = \frac{y^2}{2} \frac{d \overline{p_2}}{dx} - \iint F(x, y) dy dy + \mu C_1(x) y + \mu C_0(x)$$

где  $C_0(x)$ ,  $C_1(x)$  – постоянные интегрирования, определяемые из граничных условий.

В силу симметрии задачи  $\overline{u_2}$  является четной функцией от  $y$ , откуда  $C_1(x) = 0$  и окончательно

$$\overline{u_2} = \frac{y^2}{2\mu} \frac{d \overline{p_2}}{dx} - \frac{1}{\mu} \iint F(x, y) dy dy + C_0(x)$$

Двойной интеграл от (2.7) записан в виде

$$\frac{1}{\mu} \iint F(x, y) dy dy = -V_0 \operatorname{Re} [G(x) (H_1 + iH_2)] \quad (2.8)$$

где  $H_1 = \frac{1}{\delta^2} \left( \iint Y_x Y_x^* dy dy - \frac{y^2}{2} \right)$ ,  $H_2 = \frac{1}{\delta^2} \left( \int Y_x Y_y^* dy + \frac{if^* y^2}{4} \right)$

Используя соотношения

$$\beta^2 + \beta^{*2} = 0, \quad \beta^2 - \beta^{*2} = \frac{4i}{\delta^2}, \quad \operatorname{Re}[iz] = -\operatorname{Im}[z], \quad \operatorname{sh} iz = i \sin z, \quad \operatorname{ch} iz = \cos z$$

получаем

$$\begin{aligned} H_1 &= \frac{\operatorname{ch}(2y/\delta) - \cos(2y/\delta)}{8|\operatorname{ch}\beta y_0|^2} - \operatorname{Im} \frac{\operatorname{ch}\beta y}{\operatorname{ch}\beta y_0} \\ H_2 &= f^* \frac{\operatorname{ch}\beta y - \beta y \operatorname{sh}\beta y}{4\operatorname{ch}\beta y_0} + \frac{1}{4\operatorname{ch}\beta^* y_0} - \frac{\operatorname{ch}(2y/\delta) + i \cos(2y/\delta)}{8\beta\delta|\operatorname{ch}\beta y_0|^2} \end{aligned}$$

Для средней скорости

$$\bar{u}_2 = V(G, y) + C_2(x)y^2 + \bar{u}_2(x, 0)$$

где  $V(G, y) = V_0 \text{Re}[G(H_1(y) + iH_2(y))]$ , а в  $C_2(x)$  войдут коэффициенты при исключенных из (2.8) членов пропорциональных  $y^2$

$$C_2(x) = \frac{1}{2\mu} \left( \frac{d\bar{p}_2}{dx} + \frac{\rho_0 |U_0^2|}{2x_0} \text{Re}[(2 - f^*)G(x)] \right)$$

Это соотношение необходимо для определения давления  $\bar{p}_2$ .

### 2.3. Средняя массовая скорость

Эту величину определяют как

$$\bar{\mathbf{u}}_2^M = \frac{\overline{\rho \mathbf{u}}}{\bar{\rho}} \approx \frac{(\rho_0 + \rho_1)(\mathbf{u}_1 + \mathbf{u}_2)}{\rho_0 + \rho_1} \approx \bar{\mathbf{u}}_2 + \frac{\rho_1 \mathbf{u}_1}{\rho_0}$$

Первое соотношение (2.4) показывает, что средняя массовая скорость соленоидальна, т.е.  $\text{div} \bar{\mathbf{u}}_2^M = 0$ . Она связана с комплексными амплитудами  $\bar{\mathbf{u}}_2^M = \bar{\mathbf{u}}_2 + \frac{\text{Re}[\bar{p}_1 \bar{\mathbf{u}}_1^*]}{2\rho_0 c_0^2}$ , откуда в проекции на ось  $x$  получаем

$$\begin{aligned} \bar{u}_2^M &= \bar{u}_2(x, y) + \frac{\text{Re}[\bar{p}_1 \bar{u}_1^*]}{2\rho_0 c_0^2} = \bar{u}_2(x, y) + \frac{1}{2\rho_0 c_0^2} \text{Re} \left[ -(1-f) \frac{\rho_0 c_0^2}{i\omega} \frac{d\bar{u}_0(x)}{dx} \bar{u}_0^*(x) Y_x^*(y) \right] = \\ &= \bar{u}_2(x, y) + V_0 \text{Re} \left[ \frac{1}{4} i(1-f) G^*(x) Y_x^*(y) \right] \end{aligned} \quad (2.9)$$

В силу соленоидальности поля массовой скорости введена функция тока  $\psi$  так, что

$$\bar{u}_2^M = \partial\psi/\partial y, \quad \bar{v}_2^M = -\partial\psi/\partial x \quad (2.10)$$

Проинтегрировав уравнение (2.9) по  $y$ , получится функция тока в виде

$$\psi(G, y) = \theta(G, y) + A_3(G) \frac{y^3}{y_0^3} + A_1(G) \frac{y}{y_0} \quad (2.11)$$

где  $\theta(G, y) = V_0 \delta \text{Re} \left[ G(x) \{H_3(y) + iH_4(y)\} + \frac{1}{4} i(1-f) G^*(x) H_5(y) \right]$ ,  $H_{3,4} = \delta^{-1} \int H_{1,2} dy$ ,  $H_5 = \delta^{-1} \int Y_x^* dy$ .

Коэффициенты четных степеней  $y$  приняты равными нулю, потому что  $\psi$  должна быть нечетной функцией от  $y$ . Из соотношений (2.9), (2.11) получено

$$\begin{aligned} A_3(x) &= \frac{C_2(x)}{3} y_0^3, \quad A_1(x) = C_0(x) y y_0 + V_0 \text{Re} \left[ \frac{1}{4} i(1-f) G^*(x) y \right] y_0 \\ H_3 &= \frac{\text{sh}(2y/\delta) - \sin(2y/\delta)}{16|\text{ch}\beta y_0|^2} - \text{Im} \frac{\text{sh}\beta y}{\beta \delta \text{ch}\beta y_0} \\ H_4 &= f^* \frac{2\text{sh}\beta y - \beta y \text{ch}\beta y}{4\beta \delta \text{ch}\beta y_0} + \frac{i}{4\beta \delta \text{ch}\beta^* y_0} - \frac{\text{sh}(2y/\delta) + i\sin(2y/\delta)}{16\beta \delta |\text{ch}\beta y_0|^2} \\ H_5 &= \frac{y}{\delta} - \frac{i}{\beta \delta} \frac{\text{sh}\beta^* y}{\text{ch}\beta^* y_0} \end{aligned}$$

Из (2.9), (2.10) выражена средняя продольная массовая скорость

$$\bar{u}_2^M(G, y) = V(G, y) + V_0 \text{Re} \left[ \frac{1}{4} i(1-f) G^* Y_x^* \right] + \frac{1}{y_0} \left[ 3A_3(G) \frac{y^2}{y_0^2} + A_1(G) \right]$$

Так как  $Y_x^*(y_0) = Y_x(y_0) = 0$ , то неизвестные функции  $A_1(G)$  и  $A_3(G)$  определяются условиями прилипания и не протекания, соответственно

$$\bar{u}_2^M(G, y_0) = 0: V(G, y_0) + \frac{3}{y_0} A_3(G) + \frac{1}{y_0} A_1(G) = 0$$

$$\psi(G, y_0) = 0: \theta(G, y_0) + A_3(G) + A_1(G) = 0$$

откуда

$$\begin{cases} A_1(G) = -\frac{3}{2}\theta(G, y_0) + \frac{1}{2}y_0V(G, y_0) \\ A_3(G) = \frac{1}{2}\theta(G, y_0) - \frac{1}{2}y_0V(G, y_0) \end{cases}$$

Поперечная компонента средней массовой скорости находится дифференцированием (2.11). В силу линейной зависимости величин  $\theta$ ,  $A_3$ ,  $A_1$  от  $G$  получено

$$\bar{v}_2^M(G, y) = -\left(\theta(G, y) + A_3(G)\frac{y^3}{y_0^3} + A_1(G)\frac{y}{y_0}\right)$$

где  $G'(x) = \frac{dG(x)}{dx}$ .

### 3. РЕЗУЛЬТАТЫ

На рис. 2 представлены продольная и поперечная составляющие безразмерной скорости первого приближения (2.2) на левой границе резонатора. Ввиду симметричности компоненты скорости  $u$  и антисимметричности компоненты  $v$  представлены эпюры только для верхней полуплоскости резонатора. Графики соответствуют различным фазам периода  $T$  с шагом  $T/8$ . Ввиду условия прилипания скорость на вертикальной границе равна нулю. Видно, что продольная компонента скорости на левой границе почти всюду постоянна (не зависит от  $y$ ), но сильно меняется в вязком пограничном слое, стремясь к нулю на верхней и нижней стенках. В отличие от продольной компоненты скорости, поперечная составляющая изменяется линейно по  $y$  почти всюду кроме вязкого пограничного слоя. Заметим, что эти эпюры соответствуют предположению об одномерном характере поля давления, т.е.  $\partial p / \partial y = 0$ .

На рис. 3 представлены продольная и поперечная составляющие средней массовой скорости течения для параметров, представленных в статье [10]. В качестве масштаба скоростей использована скорость Рэлея  $u_R = \frac{3}{16} \frac{U_m^2}{c_0}$  – характерная скорость акустического течения, где  $U_m$  – максимальная скорость акустического течения. Здесь сплошной линией изображены эпюры средней скорости, рассчитанные в [10] для резонатора с колеблющейся левой границей. Точками изображены результаты, рассчитанные в [9] для каверны, совершающей продольные колебания. Пунктирной линией изображены эпюры скоростей, рассчитанные для резонатора с колеблющейся левой стенкой. Видно, что они хорошо согласуются с результатами для колеблющейся каверны.

На рис. 4 представлены линии тока акустического течения в виде четырех вихрей Рэлея и четырех вихрей Шлихтинга. Видно сходство акустических течений, возникающих при горизонтальных колебаниях каверны (а) и при колебаниях левой стенки резонатора (б). Однако, в отличие от случая колеблющейся каверны, акустическое течение, индуцированное колебанием левой стенки, имеет перетоки вблизи подвижной стенки. В случае колеблющейся каверны центры вихрей Рэлея и Шлихтинга лежат в одном поперечном сечении, а в случае резонатора с колеблющейся стенкой эти центры не лежат на одной прямой, причем центры вихрей Шлихтинга смещены в сторону боковых границ.

Хотя частота возбуждения  $\omega$  в полученном решении является произвольной, принято рассматривать возбуждение на самой низкой резонансной частоте системы, которую обозначим  $\omega_1$ . Метод определения  $\omega_1$  как функции  $y_0/\delta$  состоит в том, чтобы найти значение  $\omega$ , при котором продольная компонента скорости акустического течения является наибольшей в центре резонатора. Для оцен-

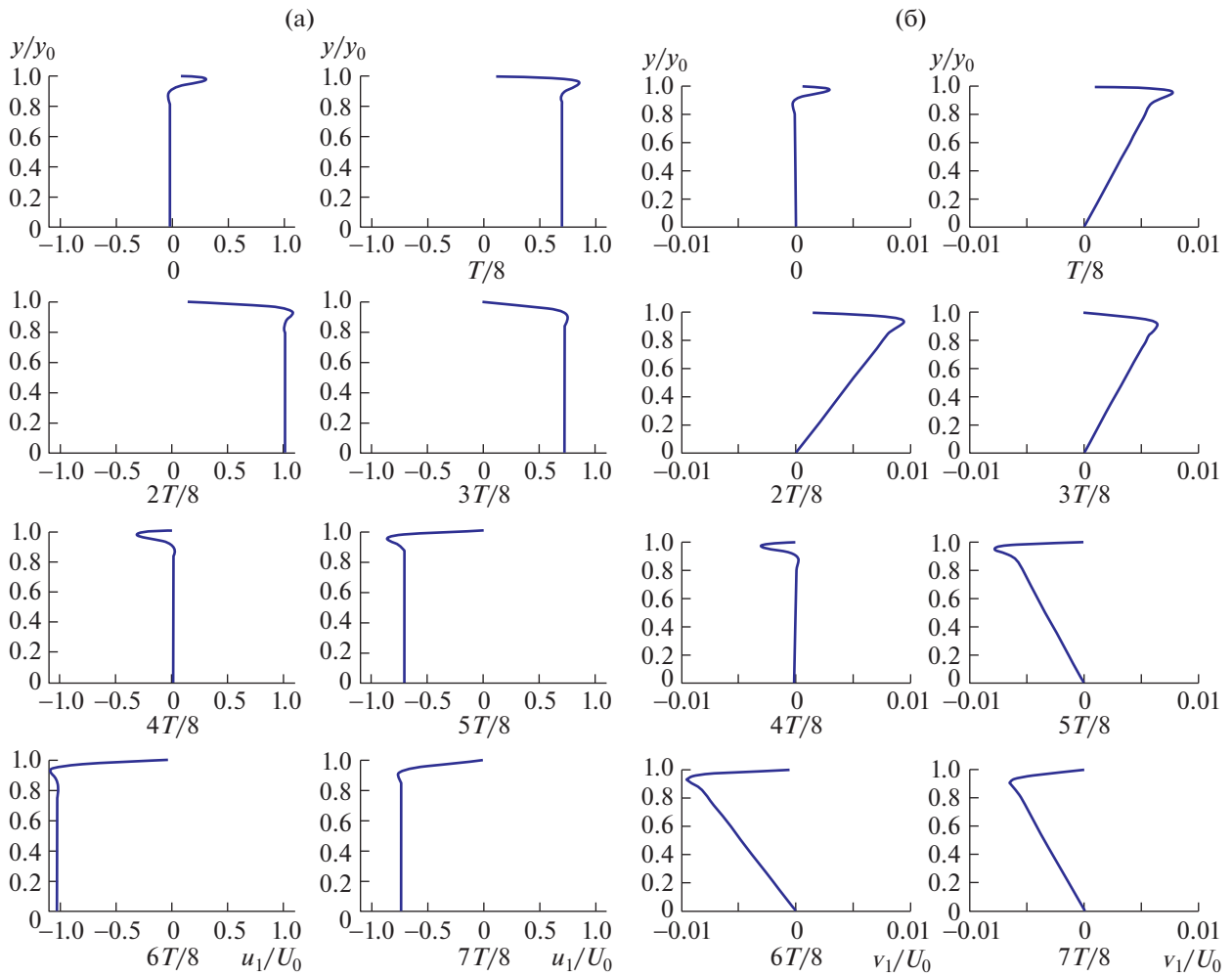


Рис. 2. Продольная (а) и поперечная (б) составляющие скорости первого приближения.

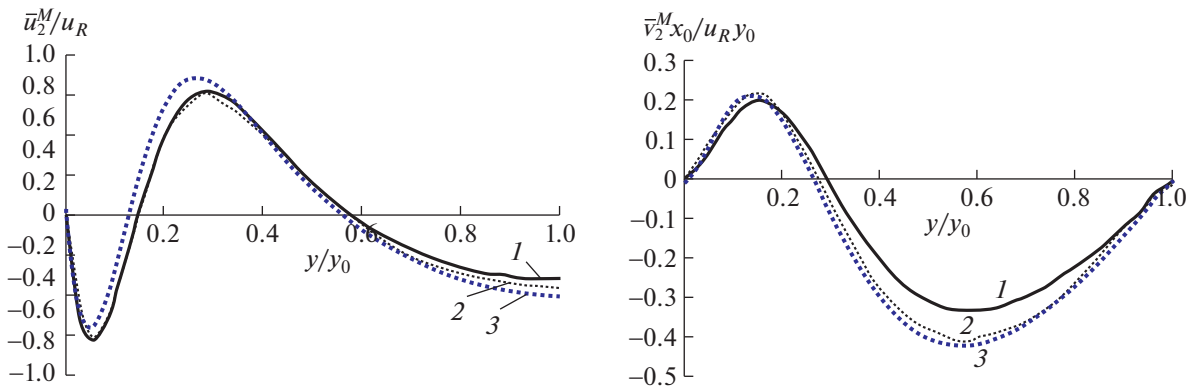


Рис. 3. Продольная (а) и поперечная (б) составляющие средней массовой скорости: 1 – результаты [10]; 2 – результаты [9]; 3 – настоящая работа.

ки комплексной амплитуды продольной компоненты скорости в центре резонатора  $|\tilde{u}_x(0,0)|$  использовано выражение комплексной амплитуды продольной компоненты скорости в первом приближении  $\tilde{u}(x,y) = \frac{0.5U_0}{1-f} \left( \frac{\text{ch}\alpha x}{\text{ch}\alpha x_0} - \frac{\text{sh}\alpha x}{\text{sh}\alpha x_0} \right) \left( 1 - \frac{\text{ch}\beta y}{\text{ch}\beta y_0} \right)$ . Пусть  $\omega_0 = \pi c_0/L$  – фундаментальная резо-

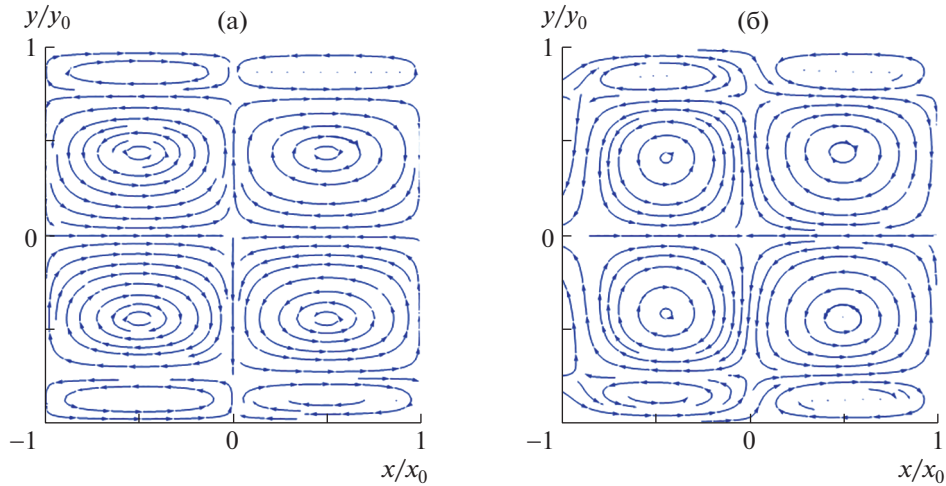


Рис. 4. Линии тока акустического течения: а – колеблющаяся каверна; б – колеблющаяся левая граница.

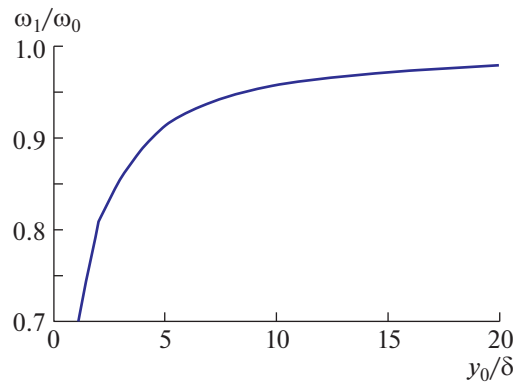
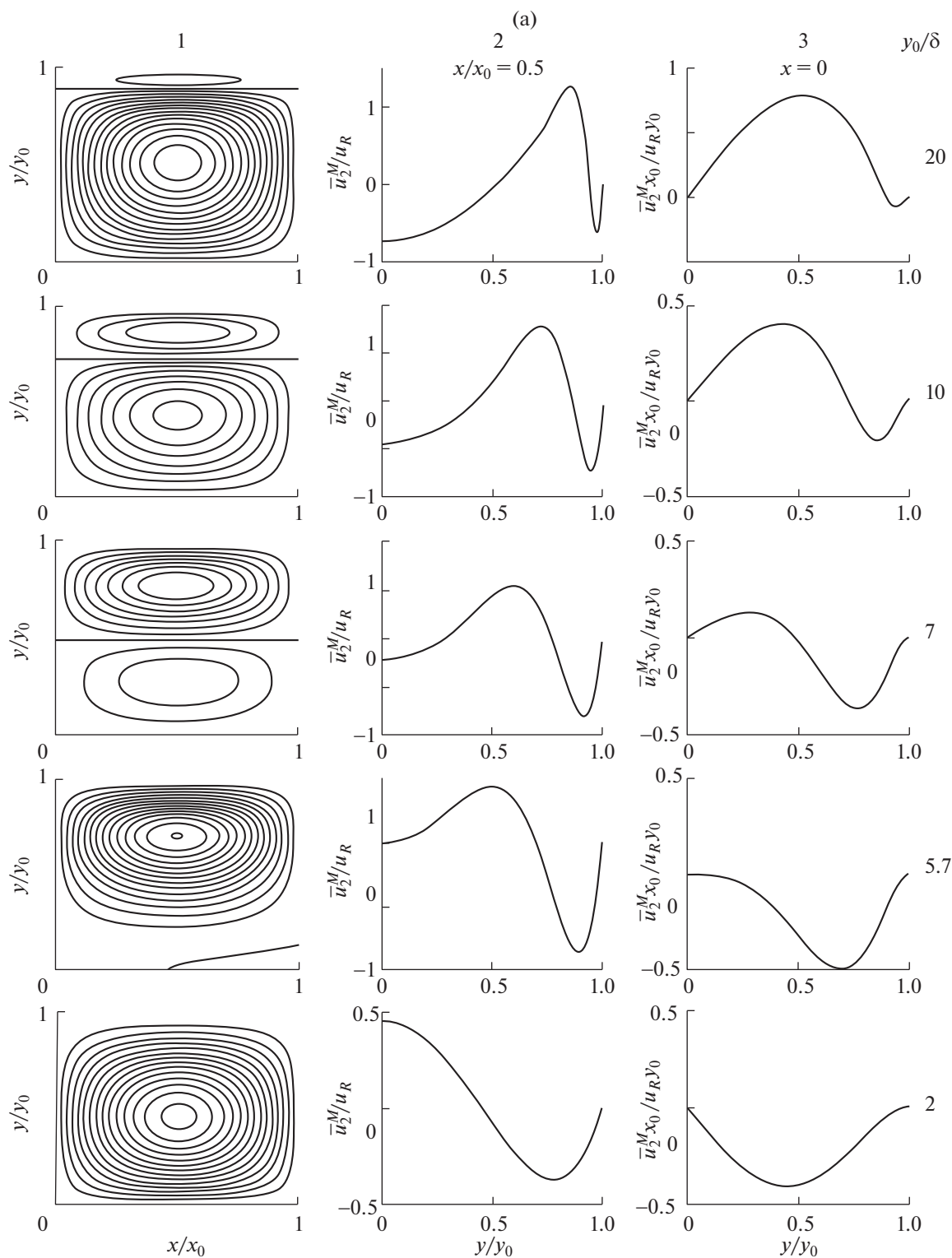


Рис. 5. Резонансная частота как функция ширины канала.

нансная частота. Значения  $\omega_1/\omega_0$ , полученные таким образом, показаны на рис. 5. При  $\omega_1 = \omega_0$  решение можно построить как функции от  $x/x_0$  и  $y/y_0$  в зависимости от единственного параметра  $y_0/\delta$ .

На рис. 6а и б первые столбцы представляют линии тока; вторые столбцы – распределения продольной компоненты скорости в сечении  $x/x_0 = 0.5$  (на рис. 6б сплошная линия – средняя массовая скорость, пунктирная линия – средняя скорость); третьи столбцы – распределения поперечной составляющей средней массовой скорости в сечении  $x/x_0 = 0$ . Видно сходство акустических течений, возникающих при горизонтальных колебаниях каверны (рис. 6а) и при колебаниях левой стенки резонатора (рис. 6б), а также хорошее согласование средних массовых скоростей. На рис. 6б в столбце 2 представлен график продольной массовой и средней скорости. Они хорошо согласуются при толщине резонатора более десяти толщин акустического пограничного слоя  $y_0 \geq 10\delta$ . В случае, когда ширина резонатора менее шести толщин вязкого пограничного слоя  $y_0 < 6\delta$ , акустическое течение представлено только вихрями Шлихтинга, вихри Рэлея не образуются.



**Рис. 6.** Параметры акустического течения: а – [9]; б – результаты настоящей работы; 1 – линии тока; 2 – распределения продольной компоненты скорости в сечении  $x/x_0 = 0.5$  (сплошная линия – средняя массовая скорость, пунктирная линия – средняя скорость); 3 – распределения поперечной составляющей средней массовой скорости в сечении  $x/x_0 = 0$ .



области вблизи колеблющейся стенки, в частности в каверне и в резонаторе образуются вихри Рэлея и Шлихтинга. Условием применимости полученного решения является малость толщины пограничного слоя по сравнению с длиной акустической волны, а мгновенная скорость частиц газа пренебрежимо мала по сравнению со скоростью звука. Используемая модель не учитывает конвективное ускорение частиц газа и образование периодической ударной волны при больших амплитудах колебаний. Установлено сходство акустических течений, возникающих при горизонтальных гармонических колебаниях каверны и при колебаниях левой стенки резонатора, что говорит о малом влиянии способа генерации стоячей волны на паттерны акустических течений. В случае колеблющейся каверны центры вихрей Рэлея и Шлихтинга лежат в одном поперечном сечении, а в случае резонатора с колеблющейся границей центры вихрей Шлихтинга смещены в сторону боковых стенок. Обнаружено существование перетоков вблизи колеблющейся стенки резонатора, которое обусловлено постановкой граничных условий.

Исследование выполнено за счет гранта Российского научного фонда (проект № 20-11-20070).

#### СПИСОК ЛИТЕРАТУРЫ

1. *Lord Rayleigh (Stutt J.W.)* On the circulation of air observed in Kundt's tubes, and on some allied acoustical problems // *Philos. Trans. R. Soc. London*. 1884. V. 175. Sec. 3. P. 1–21.  
<https://doi.org/10.1098/rstl.1884.0002>
2. *Westervelt P.J.* The theory of steady rotational flow generated by a sound field // *J. Acoust. Soc. Am.* 1953. V. 25. P. 60–67.  
<https://doi.org/10.1121/1.1907009>
3. *Nyborg W.L.* Acoustic streaming // *Physical Acoustics*. 1965. V. 2. Part B. Chap. 11. P. 290–295.  
<https://doi.org/10.1016/B978-0-12-395662-0.50015-1>
4. *Nyborg W.L.* Acoustic streaming // *Nonlinear Acoustics*. 1998. Chap. 7. Sec. 3.3.
5. *Schlichting H., Gersten K.* Boundary-Layer Theory. New York: Springer Inc. 2017. 814 p.  
<https://doi.org/10.1007/978-3-662-52919-5>
6. *Zarembko L.K.* Acoustic streaming // *High-Intensity Ultrasonic Fields*. 1971. Part III. P. 135–199.  
[https://doi.org/10.1007/978-1-4757-5408-7\\_3](https://doi.org/10.1007/978-1-4757-5408-7_3)
7. *Rudenko O.V., Soluyan S.I.* Theoretical Foundations of Nonlinear Acoustics. New York: Plenum. 1977. P. 206–210.  
<https://doi.org/10.1002/jcu.1870060222>
8. *Gubaidullin D.A., Osipov P.P., Nasyrov R.R.* Numerical simulation of Schlichting streaming induced by standing wave in rectangular enclosure // *Journal of Physics: Conf. ser.* 2014. V. 567. № 12017. 8 p.  
<https://doi.org/10.1088/1742-6596/567/1/012017>
9. *Hamilton M.F., Ilinskii Y.A., Zabolotskaya E.A.* Acoustic streaming generated by standing waves in two-dimensional channels of arbitrary width // *J. Acoust. Soc. Am.* 2003. V. 113. P. 153–160.  
<https://doi.org/10.1121/1.1528928>
10. *Aktas M.K., Farouk B.* Numerical simulation of acoustic streaming generated by finite-amplitude resonant oscillations in an enclosure // *J. Acoust. Soc. Am.* 2004. V. 116. № 5. P. 2822–2831.  
<https://doi.org/10.1121/1.1795332>
11. *Hamilton M.F., Ilinskii Y.A., Zabolotskaya E.A.* Nonlinear two-dimensional model for thermoacoustic engines // *J. Acoust. Soc. Am.* 2002. V. 111. P. 2076–2086.  
<https://doi.org/10.1121/1.1467675>
12. *Зарембо Л.К., Красильников В.А.* Введение в нелинейную акустику. М.: Наука, 1966. 520 с.